

(1)

Argomento generale per vedere che ci aspettiamo fluctuazioni quantistiche dell'inflazione e come queste evolvono su grandi scale (ovvero scale più grandi del raggio di Hubble):

$$\ddot{\delta\varphi} + 3H\dot{\delta\varphi} - \frac{\nabla^2\varphi}{a^2} = -V''(\varphi)\delta\varphi$$

$$\ddot{\varphi}_0 + 3H\dot{\varphi}_0 = -V'(\varphi_0)$$

$$\text{avendo usato } \varphi(\vec{x}, t) = \varphi_0(t) + \delta\varphi(\vec{x}, t)$$

Devo le ricordate già scritte al tempo:

$$(\dot{\varphi}_0)'' + 3H(\dot{\varphi}_0)' = -V'\dot{\varphi}_0 \quad (H = \text{const})$$

$$\ddot{\delta\varphi} + 3H\dot{\delta\varphi} - \frac{\nabla^2\varphi}{a^2} = -V''\delta\varphi$$

bonsaiabilità nel limite $\frac{k^2}{a^2} \ll 1$

$\Rightarrow \dot{\varphi}_0$ e $\delta\varphi$ obbediscono allo stesso equazione

Guardo le trasformazioni $W(x, y) = \dot{x}\dot{y} - \dot{y}\dot{x}$

Se $W \neq 0$ sono indipendenti;

$$W(\dot{\varphi}, \dot{\delta\varphi}) = \dot{\varphi}\dot{\delta\varphi} - \dot{\delta\varphi}\dot{\varphi}$$

$\dot{W} = -3H\dot{W} \Rightarrow W \propto e^{-3Ht} \rightarrow 0$. Quindi dopo un po le 2 soluzioni sono legate da una costante di proporzionalità

(2)

$$\delta\varphi(\vec{x}, t) \sim -\delta t(\vec{x}) \dot{\varphi}_0(t)$$

dipende da \vec{x} perché ho buttato via il gradiente

$$\Rightarrow \varphi(\vec{x}, t) = \varphi_0(t - \delta t(\vec{x}))$$

quindi il campo scalare a seconda del posto assume

lo stesso valore a tempi diversi (o a un certo t uno ha lo stesso valore ovunque). E' il risultato delle fluttuazioni quantistiche.

Possiamo quindi dire anche che: su grandi scale, il campo scalare, regione per regione nell'universo passa attraverso la stessa expansion history, ma ad istanti leggermente diversi, a causa delle sue fluttuazioni quantistiche.

2. PERTURBAZIONI COSMOLOGICHE dell'INFLAZIONE

(1)

de: fluttuazioni quantistiche del campo $\delta\phi(\vec{r}, t)$

Abbiamo visto 2 equazioni:

$$\ddot{\phi} + 3H\dot{\phi} - \frac{\nabla^2 \phi}{a^2} = -V'(\phi) \quad (1)$$

$$\ddot{\phi}_0 + 3H\dot{\phi}_0 = -V'(\phi_0) \quad (2)$$

$$\phi(\vec{r}, t) = \phi_0(t) + \delta\phi(\vec{r}, t) \Rightarrow$$

Inserendo nello (1):

$$\ddot{\delta\phi} + 3H\dot{\delta\phi} - \frac{\nabla^2 \delta\phi}{a^2} = -V''\delta\phi \quad (\text{per piccole perturbazioni})$$

$\delta\phi$ è la fluttuazione quantistica

N.B.: se manca un termine rotolamento $V'' \ll H^2$ (o se il campo ha massa = 0)

$$\ddot{\delta\phi} + 3H\dot{\delta\phi} - \frac{\nabla^2 \delta\phi}{a^2} = 0$$

Risolvendo l'equazione andando in Fourier space (NB: trasformata 3-dimensionale ho solo termini che dipendono dal tempo):

$$\delta\phi(\vec{r}, t) = \frac{1}{(2\pi)^3} \int d^3k e^{i\vec{k} \cdot \vec{r}} \tilde{\delta\phi}(\vec{k}, t)$$

onde piano fischio in spazio-piatti

$$\tilde{\delta\phi}^*(\vec{k}, t) = \tilde{\delta\phi}(-\vec{k}, t)$$

L'equazione diventa:

$$\ddot{\delta\phi}_{\vec{k}} + 3H\dot{\delta\phi}_{\vec{k}} + \frac{k^2}{a^2} \delta\phi_{\vec{k}} = 0$$

Prima dei dettagli sviluppo qualitativo: (2)

1) $\lambda \ll H$ → $k \gg aH$
raggio di Hubble

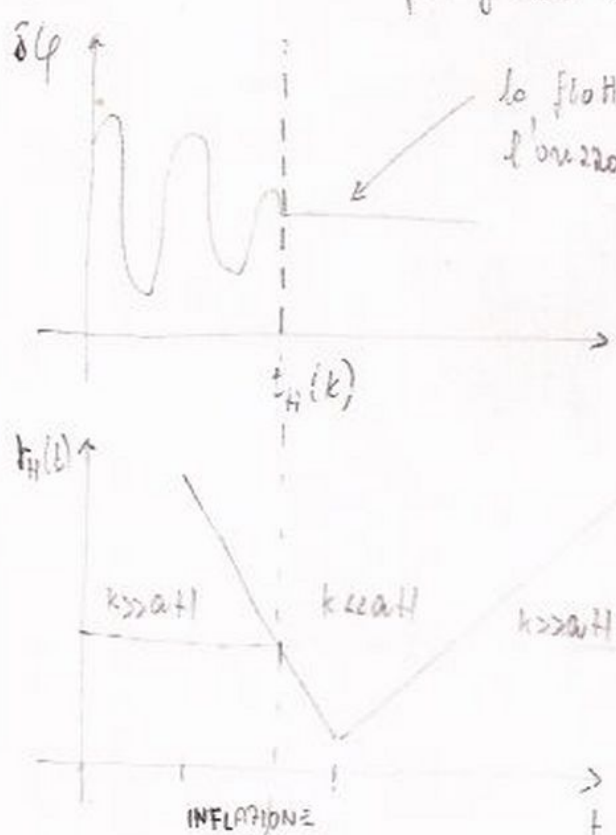
$$\Rightarrow \ddot{\delta\varphi} + \frac{h^2}{a^2} \delta\varphi = 0$$

$\delta\varphi$ osilla (ce lo si doveva aspettare: è come andare a camminare nel uno spazio piatto se prendo scatti molto piccole)

2) $\lambda \gg H^2 \rightarrow k \ll aH$

$$\Rightarrow \ddot{\delta\varphi} + 3H\dot{\delta\varphi} = 0$$

$\delta\varphi \approx \text{const.}$ su scale più grandi dell'orizzonte



lo fluttuazione è congelata sopra l'orizzonte (la fluttuazione non si propaghe più e la sua ampiezza è congelata a causa di $3H\dot{\delta\varphi}$. le sue Δphys da $\propto e^{3Ht}$. Se molto su larghi granuli $\delta\varphi \neq 0$: il risultato finale è uno stato con un numero netto di particelle. In pratica è un meccanismo di amplificazione gravitazionale il cui punto cruciale è i.e. fatti, che $H = \text{const}$ e i modi finiti dentro l'orizzonte sono "stirati" fuori da esso)

Se l'equazione fosse classica avrei due costanti di integrazione; stiamo però parlando di fluttuazioni quantistiche → diventano operatori di creazione e distruzione (seconda quantizzazione).

Consideriamo $\hat{\psi} = \omega \hat{\phi}$ funzione clonica del tempo

$$\hat{\psi}(\tilde{\gamma}, \vec{x}) = \int \frac{d^3 k}{(2\pi)^3} \left[u_k(\tilde{\gamma}) a_k e^{i \vec{k} \cdot \vec{x}} + u_k^*(\tilde{\gamma}) a_k^\dagger e^{-i \vec{k} \cdot \vec{x}} \right]$$

dove a_k e a_k^\dagger sono operatori di creazione e distruzione.

$$a_n |0\rangle = 0$$

$$\langle 0 | a_k^\dagger = 0 ;$$

obbediscono alle regole di commutazione: $[a_k^\dagger, a_{k'}] = -i \hbar \delta^{(3)}(\vec{k} - \vec{k}')$,

u_k sono normalizzati secondo: $u_k u_k^* - u_k^* u_k = -i$, $i = \frac{\partial}{\partial \tilde{\gamma}}$

Nello spazio piatto avrei $u_k(t) = \frac{e^{i \omega t}}{\sqrt{2 \omega_k}}$ (fa piccole distanze, fa il principio di equivalenza, dove poi si risolve la metrica piatta che in mecc. quantistica mi porta a delle onde piane)

Corrisponde alla scelta di un vuoto di Bunch-Davies

Nello spazio vero le $u_k(\tilde{\gamma})$ obbediscono alla:

$$u_k''(\tilde{\gamma}) + \left(k^2 - \frac{a''}{a} + V'' a^2 \right) u_k = 0$$

dove $' = \frac{\partial}{\partial \tilde{\gamma}}$, con $\tilde{\gamma}$ tempo conforme ($d\tilde{\gamma} = \frac{dt}{a}$)

1) caso $m=0$, e' esponente di - de Sitter ($a \propto e^{Ht}$, $H = \text{const.}$) ④

$$u''_k + \left(k^2 - \frac{a''}{a} \right) u_k = 0$$

$$\rightarrow d\tau = \frac{dt}{a} = dt e^{-Ht} \rightarrow \tau = -\frac{1}{H} e^{-Ht} = -\frac{1}{aH} \quad (\gamma < 0, \text{ si vogliano approssimare le costanti di integrazione})$$

$$e \frac{a''}{a} \text{ (de Sitter)} = \frac{2}{\gamma^2} = 2 a^2 H^2 \quad r(aH) \text{ raggio di Hubble}$$

quindi fa scale sotto l'orizzonte $k^2 \gg \frac{a''}{a}$ e

$$u''_k + k^2 u_k = 0 \rightarrow u_k = \frac{e^{-ik\tau}}{\sqrt{2k}} \quad (k \gg aH)$$

Su scale sopra l'orizzonte:

$$u''_k - \frac{a''}{a} u_k = 0 \rightarrow \text{(modo crescente)} \quad u_k = B(k) a(\gamma) \quad (k \ll aH)$$

con $B(k)$ costante di integrazione.

Faccio una approssimazione per trovare $|B(k)|$: un "matching" tra i 2 regimi quando la scala k attraversa l'orizzonte a $k=aH$
 $(-k\tau=1)$

$$|B(k)| a = \frac{1}{\sqrt{2k}} \Rightarrow |B(k)| = \frac{1}{a\sqrt{2k}} = \frac{H}{\sqrt{2k^3}}$$

Ritorno alle variabili $\delta\psi$:

$ \delta\psi _K \approx B(k) \approx \frac{H}{\sqrt{2k^3}}$	fa i modi sopra l'orizzonte $(k < aH)$
---	---

4bis

N.B.: Se sono in quanti de-Sitter

$\dot{H} = -\frac{\dot{H}}{H^2} \neq 0$ e allora la scala attraversa l'orizzonte quando

$$k = a_{\text{L}} H_k$$

$$H_k = H(t_{\text{pl}}(k))$$

istante al quale la scala k attraversa l'orizzonte durante l'inflazione \Rightarrow

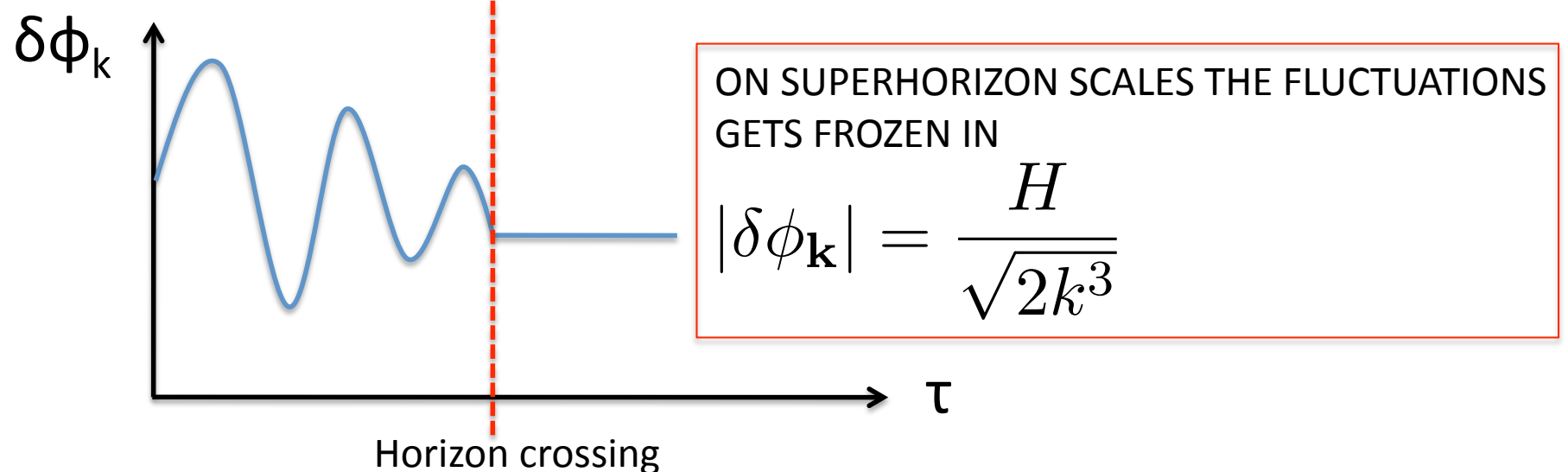
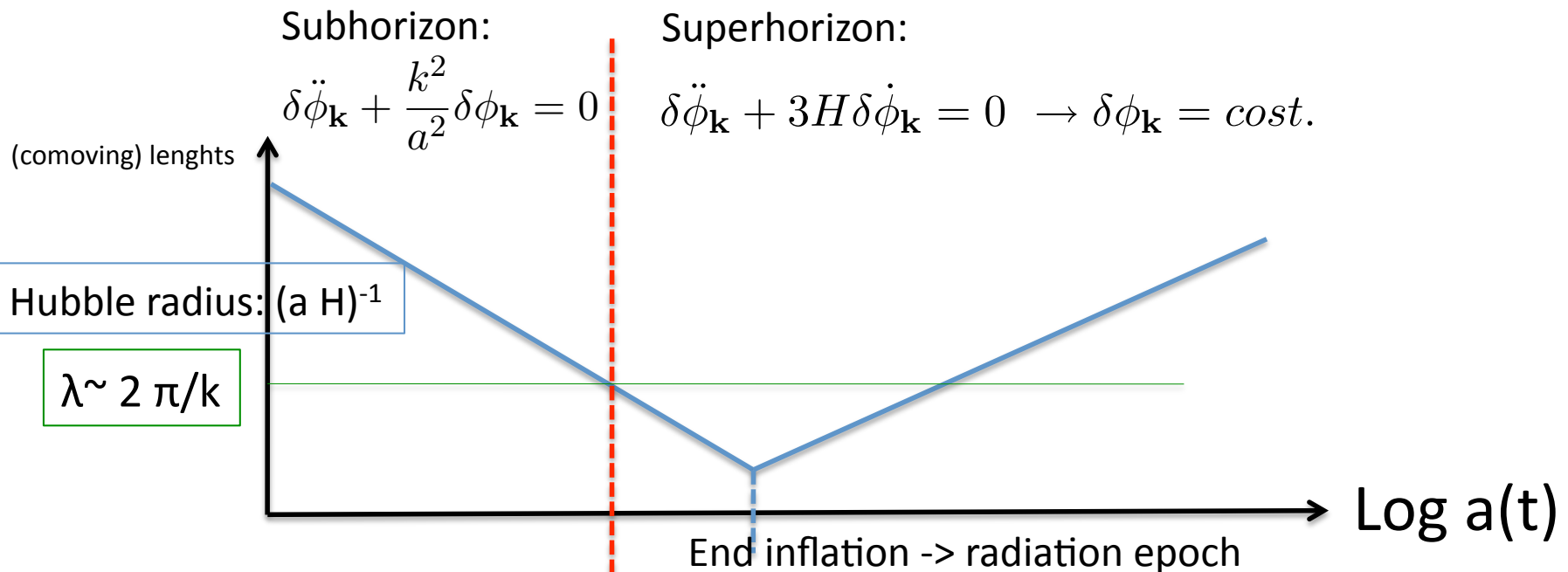
otteniamo $|S\phi_k| \sim \frac{H(t_{\text{pl}}(k))}{\sqrt{2k^3}}$

N.B. : soluzione tratta!

$$u_k(\tau) = \frac{e^{-ik\tau}}{\sqrt{2k}} \left(1 + \frac{i}{k\tau} \right)$$

$$k\tau \gg 1 : u_k(\tau) \sim \frac{e^{-ik\tau}}{\sqrt{2k}}$$

$$|k\tau| \ll 1 : |u_k(\tau)| \sim \frac{1}{\sqrt{2k^3}} H_a(\tau) \rightarrow |\delta\phi_k| \sim \frac{H}{\sqrt{2k^3}}$$



So what's going on?

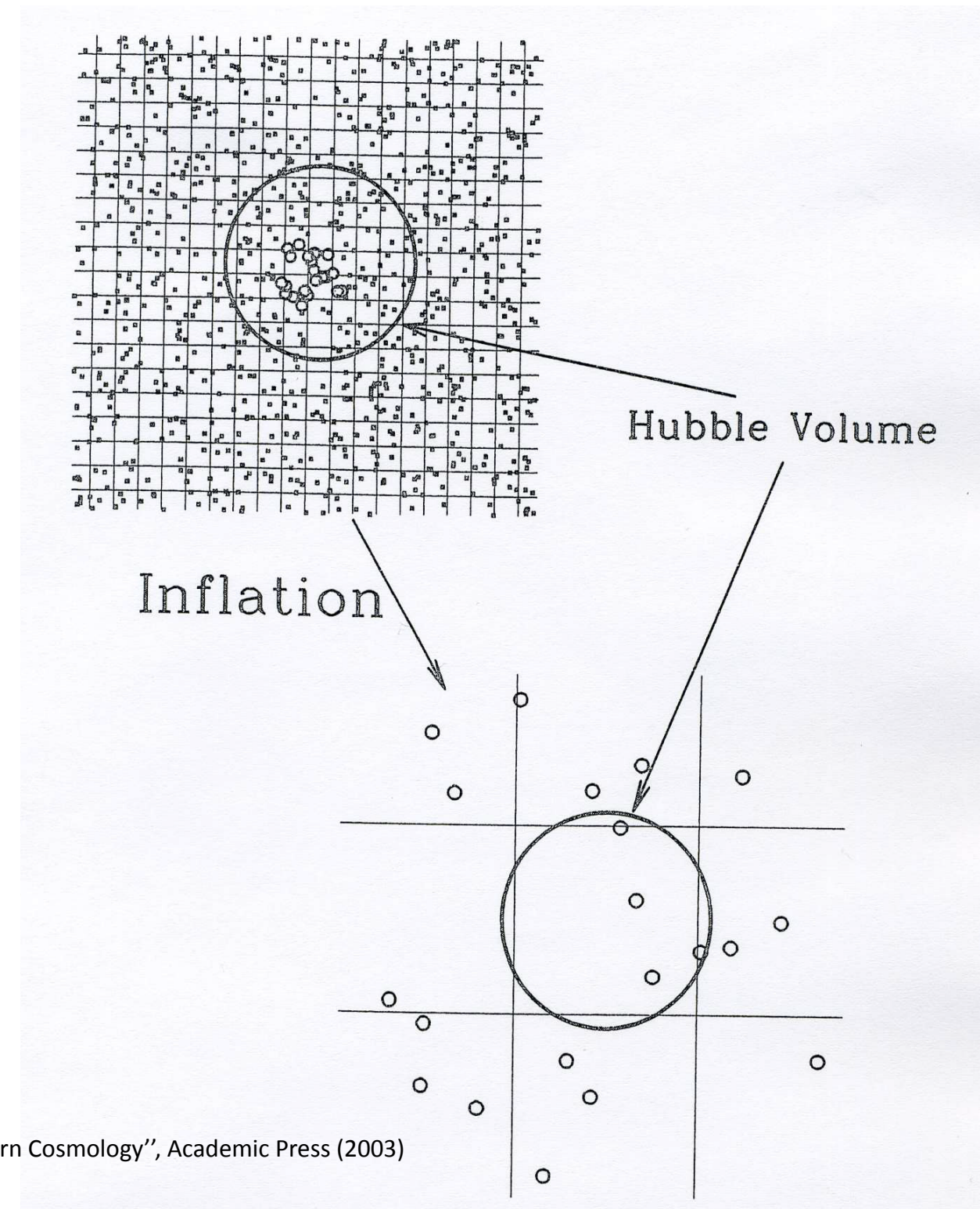
On microscopic scales (well inside the horizon) microphysics is at work: use quantum field theory. There are quantum fluctuations of the scalar field; if averaged over macroscopic interval of time they vanish (quantum fluctuations of vacuum: particles are continuously created and destroyed).

However the space-time background is exponentially inflating so their physical wavelengths grow exponentially

$$\lambda_{phys} \propto a(t) \propto e^{Ht}$$

until they become greater than the horizon H^{-1} (which remains almost constant). On super-horizon scales the fluctuations get frozen (because of the friction term $3H\delta\phi$). The fluctuations do not vanish if averaged on macroscopic time interval: a classical fluctuation has been generated.

Said in other words: if on superhorion scales $\delta\phi \neq 0$ over macroscopic time interval then the final result is a state with a net number of particles. This is a gravitational mechanism of amplification. The crucial point is the "in" and "out" (of the horizon) state of the fluctuations



(5)

Vediamo come ottenere una soluzione valida ad ogni τ , che riproduce i due regimi estremi, $K \ll \omega_0$ e $K \gg \omega_0$, considerati finora.

Campo scalare con una trascurabile in quantità di litter:

$$\ddot{H} = -\epsilon H^2, \quad \epsilon \ll 1$$

In questo caso i) $a(\tau) \approx -\frac{1}{H\tau(1-\epsilon)}$

$$ii) \frac{\ddot{a}}{a} = +1(1-\epsilon) \rightarrow \frac{a''}{a} \approx \frac{2}{\tau^2} \left(1 + \frac{3\epsilon}{2} \right)$$

i) e ii) ottenuuti facendo uno sviluppo all'ordine più basso in ϵ

l'equazione per le u_k diventa:

$$u_k'' + \left(k^2 - \frac{a''}{a} \right) u_k = 0 \rightarrow u_k'' + \left(k^2 - \frac{\gamma^2 - \frac{1}{4}}{\gamma^2} \right) u_k = 0$$

$$\gamma^2 = \frac{9}{4} + 3\epsilon$$

N.B.: posso trarre ϵ come costante perché dipendendo

all'ordine più basso in ϵ ho che $\epsilon = O(\epsilon^2)$.

Hanno una eq. di Bessel la cui soluzione è:

$$u_k(\tau) = \sqrt{-\gamma} \left[C_1(k) J_{\frac{1}{2}}(-k\tau) + C_2(k) I_{\frac{1}{2}}(-k\tau) \right]$$

Siccome $I_{\frac{1}{2}}(x \gg 1) \sim \sqrt{\frac{2}{\pi x}} e^{i(x - \frac{1}{2}\gamma - \frac{1}{4})}$ ($+I_{\frac{1}{2}} = -I_{\frac{1}{2}}$)

$$\Rightarrow C_2(k) = 0, \quad C_1(k) = \sqrt{\frac{\pi}{2}} e^{i(\gamma + \frac{1}{2})\frac{\pi}{2}} \text{ ha avuto l'andamento}$$

(6)

oscillazione su frequenze reali di $e^{-ik\tau}$

$$\Rightarrow M_k(\tau) = \frac{\sqrt{\pi}}{2} e^{i(\nu + \frac{1}{2})\frac{\pi i}{2}} \sqrt{-\tau} H_{\nu}^{(1)}(-k\tau) \times \begin{cases} H_{\nu}^{(1)}(x) \sim \frac{e^{ix}}{\sqrt{x}}, & x \ll 1 \\ H_{\nu}^{(1)}(x) \sim x, & x \gg 1 \end{cases}$$

Po' i modi fuori dall'orizzonte:

$$H_{\nu}^{(1)}(x \ll 1) \sim \sqrt{\frac{2}{\pi}} e^{-i\frac{\pi}{2}} 2^{\nu - \frac{3}{2}} \left(\frac{\Gamma(\nu)}{\Gamma(\frac{3}{2})} \right) x^{-\nu} \Rightarrow$$

$$M_k(\tau) \underset{k \tau \gg 1}{\sim} e^{i(\nu - \frac{1}{2})\frac{\pi i}{2}} 2^{\nu - \frac{3}{2}} \frac{\Gamma(\nu)}{\Gamma(\frac{3}{2})} (-k\tau)^{\frac{1}{2} - \nu} \times \frac{1}{\sqrt{2k}}$$

$$|S\psi_k| \underset{\epsilon \ll 1}{\sim} 2^{\left(\nu - \frac{3}{2}\right)} \frac{\Gamma(\nu)}{\Gamma(\frac{3}{2})} \frac{1}{\sqrt{2k^3}} \left(\frac{k}{a+1} \right)^{\frac{3}{2} - \nu} \quad (\text{hanno } \underline{\text{att}})$$

Siccome $\epsilon \ll 1$ e $\nu^2 = \frac{9}{4} + 3\epsilon$ posso sviluppare in $\epsilon \Rightarrow$

$$|S\psi_k| = \frac{H}{\sqrt{2k^3}} \left(\frac{k}{a+1} \right)^{\frac{3}{2} - \nu}, \quad \frac{3}{2} - \nu = -\epsilon \quad (\text{e } \frac{3}{2} - \nu = m - \epsilon \text{ include la massa})$$

N.B.: Posso scrivere $H \approx H_k \left[1 + \frac{H}{H^2} \ln \left(\frac{a+1}{h} \right) \right] \underset{h=aH}{\approx} H_k \left(\frac{k}{a+1} \right)^{\epsilon}$

$$\Rightarrow |S\psi_k| \underset{\epsilon \ll 1}{\sim} \frac{H_k}{\sqrt{2k^3}} \quad (\text{risultato che avevamo anticipato})$$

Commento: Se volremo tenere conto di vere maniera del campo sezione, piccole, ma non nulla

$$m^2 = V'' \ll H^2$$

$m''_n + \left(k^2 - \frac{a''}{\omega} + m^2 a^2 \right) n_k = 0 \rightarrow$ ho avuto l'equazione di Benetton con adesso

$$V^2 = \frac{9}{4} + 3\varepsilon - 3\eta$$

$$\eta = \frac{1}{3} \frac{m^2}{H^2}$$

e riprendo tutte le espressioni precedenti con questa nuova

espressione di $V^2 = \frac{9}{4} + \varepsilon - \eta$ (all'ordine più basso in ε e η) -

$$\sigma \frac{3}{2} - D = \eta - \varepsilon$$

Una perturbazione di $\delta\varphi \Rightarrow \delta T_{\mu\nu}$, una perturbazione nel tensore energia-momento è a sua volta, attraverso le eq. di Einstein $\delta T_{\mu\nu} \Rightarrow \delta R_{\mu\nu} - \frac{1}{2}\delta(Rg_{\mu\nu})$ e quindi $\delta g_{\mu\nu}$.

A sua volta $\delta g_{\mu\nu}$ entra nella eq. di Klein-Gordon come perturbazione della metrica.

Quindi $\delta\varphi \Leftrightarrow \delta g_{\mu\nu}$, le fluttuazioni di φ sono strettamente legate a $\delta g_{\mu\nu}$ (anche per questioni di gauge-invarianza).

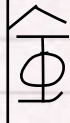
Infatti in termini delle quantità gauge-invarianti

$$Q\varphi = \delta\varphi + \underline{\dot{\varphi}} \quad (\text{notazione di Sasaki-Mukhamov})$$

si ottengono delle eq. del tipo:

$$\hat{Q}_\varphi'' + \left(k^2 - \frac{a''}{a} + M^2 a^2 \right) \hat{Q}_\varphi = 0$$

N.B.: a lezione ho usato una notazione diversa per Ψ . A lezione, anticipando qui alcuni concetti/definizioni che poi si vedono in dettaglio nella parte di perturbazioni cosmologiche in Relatività Generale, al posto di Ψ ho usato la quantità



con $M = 3m - 6E$ e risavibile come al solito come

una eq. di Bessel con $P \approx \frac{3}{2} + 3E - m$ ($P = \frac{9}{4} + 3E - 3m$)

si può ricavare le soluzioni viste prima.

Siccome $\dot{\varphi} = -\dot{a} - \delta\varphi \underline{\dot{H}}$ uno po' arriva allo stesso
 $= \underline{\dot{H}} \underline{\dot{\varphi}} Q_\varphi$ $\dot{\varphi}$ $\Delta(k) = \left(\frac{H^2}{2\pi\dot{\varphi}} \right)^2 \left(\frac{k}{a\dot{a}} \right)^{D-2D}$

e quindi ad un indice spettrale per le perturbazioni
scalari:

$$m-1 = \frac{d \ln \Delta}{d \ln k} = 3 - 2\gamma = 2\eta - 6\varepsilon$$

(ri vediamo anche note più avanti) -

Primordial gravitational waves

GWs are tensor perturbations of the metric. Restricting ourselves to a flat FRW background (and disregarding scalar and vector modes)

$$ds^2 = a^2(\tau) [-d\tau^2 + (\delta_{ij} + h_{ij}(x, \tau)) dx^i dx^j]$$

where h_{ij} are tensor modes which have the following properties

$$h_{ij} = h_{ji} \quad (\text{symmetric})$$

$$h_i^i = 0 \quad (\text{traceless})$$

$$h_{j|i}^i = 0 \quad (\text{transverse})$$

and satisfy the equation of motion

$$h''_{ij} + 2 \frac{a'}{a} h'_{ij} - \nabla^2 h_{ij} = 0$$

$$' = d/d\tau$$

Primordial gravitational waves

GWs have only (9→6-1-3=) 2 independent degrees of freedom, corresponding to the 2 polarization states of the graviton

$$h_{ij}(\vec{x}, \tau) = \int \sum_{\lambda=+, \times} \frac{d^3k}{(2\pi)^3} e^{i\vec{k}\cdot\vec{x}} h_\lambda(\vec{x}, \tau) \varepsilon_{ij}^\lambda(\vec{k})$$

free massless, minimally coupled scalar field

polarization tensor

$$h'' + 2\frac{a'}{a}h' + k^2h = 0$$

behaviour:

$k \ll aH$ (outside the horizon) $h \approx \text{const} + \text{decaying mode}$

$k \gg aH$ (inside the horizon) $h \approx e^{\pm ik\tau}/a$ gravitational wave; it freely streams, experiencing redshift and dilution, like a free photon)

$$h = \frac{H}{\pi M_{Pl}}$$

$\sqrt{H} \propto V(\phi)^{1/4} \equiv E_{\text{inf}}$
Energy scale of inflation!

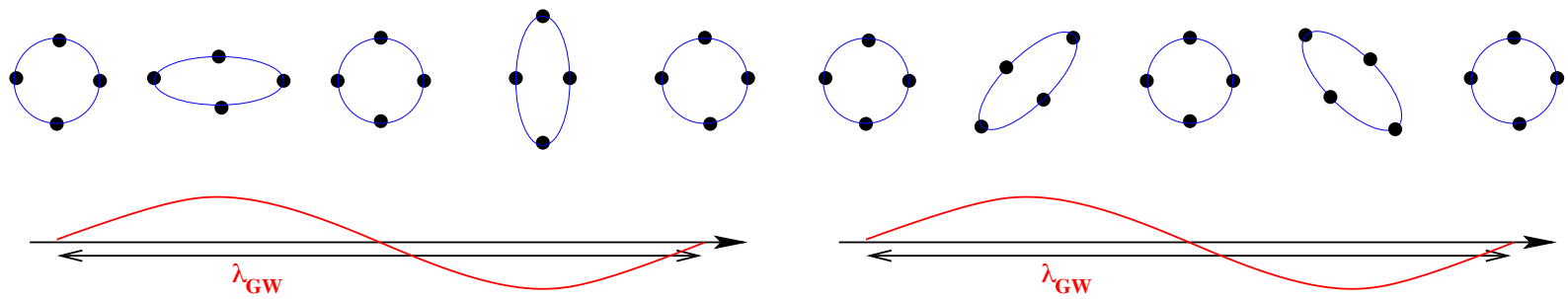


Fig. 1. We show how point particles along a ring move as a result of the interaction with a GW propagating in the direction perpendicular to the plane of the ring. The left panel refers to a wave with + polarization, the right panel with \times polarization.

From arXiv:0709.4682

(15)

Abbiamo visto che se abbiamo un campo scalare senza massa o molto leggero, le sue fluttuazioni vengono "eccitate" in de-Sitter su scale più grandi del raggio di Hubble. Una cosa analoga può succedere per altri campi scalari senza massa o molto leggeri.

Un esempio importante sono le onde gravitazionali

$$g_{ij} = \tilde{a}^2 (\delta_{ij} + h_{ij})$$

$$\text{con } h^{i i} = 0, \quad h^{i j}{}_{;i} = 0;$$

$$h_{ij} = h_{ji}$$

Le onde gravitazionali hanno 2 gradi di libertà che si propagano come due campi vettoriali minimamente accoppiati:

$$\phi_{+,x}$$

$$\text{con } h_{+,x} = \sqrt{32\pi G} \phi_{+,x}$$

$$\Delta_h(k) = 32\pi G \quad \Delta_{\phi_{+,x}}(k) = \frac{32\pi}{M_{Pl}^2} \frac{H_*^2}{4\pi^2} = \frac{8}{\pi} \frac{H_*^2}{M_{Pl}^2} = \frac{8}{\pi} \frac{H_*^2}{M_{Pl}^2} \left(\frac{k}{aH} \right)^{-2}$$

$M_{Pl}^{-2} = G$; * indica il tempo al quale la scala k attraversa l'orizzonte durante l'inflazione

N.B.: siccome $\frac{H_*^2}{M_{Pl}^2} \propto P_{\text{inflazione}} \approx V(q)$ l'ampliamento delle

onde gravitazionali è \propto alla scala di energia a cui avviene l'inflazione.

L'indice spettrale è $n_T = \frac{d \ln \Delta_h(k)}{d \ln k} = -26$.